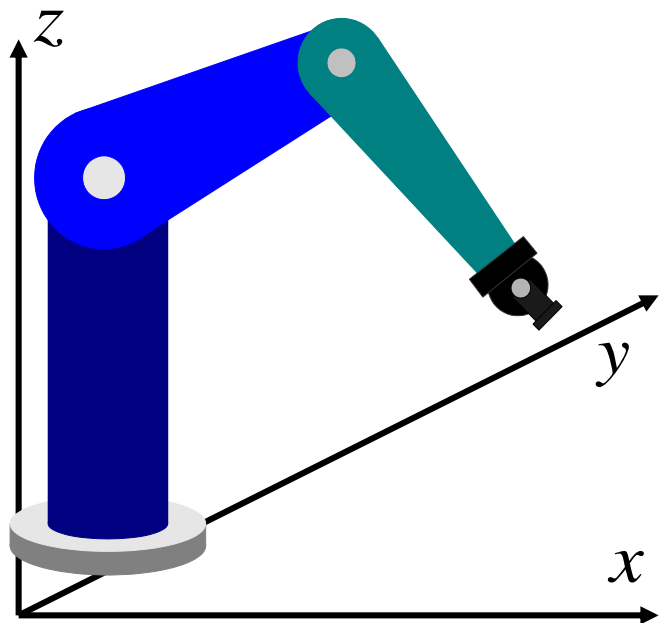


## 2.7 串联机构中的运动学参量



# 概述

- 多关节操作臂由一系列连杆和关节构成
- 操作臂运动学研究操作臂的位置、速度和加速度等，不考虑对操作臂施加的力或力矩
- 操作臂运动学中的位置研究包括正运动学问题和逆运动学问题



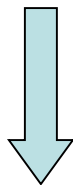
- 正运动学问题
  - 已知各关节变量，求取操作臂末端位姿
- 逆运动学问题
  - 已知操作臂末端位姿，求取各关节变量

# 概述

## ● 正运动学

给定关节角变量

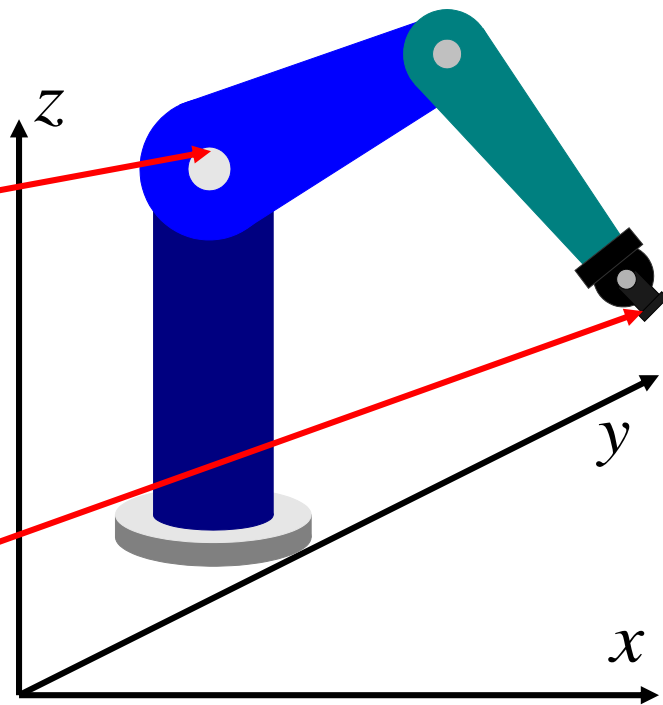
$$(q_1, q_2, \dots, q_N)$$



$$(x, y, z, \alpha, \beta, \gamma)$$

得到末端位置和姿态

用于机构设计

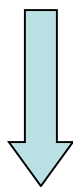


# 概述

- 逆运动学

给定末端位置和姿态

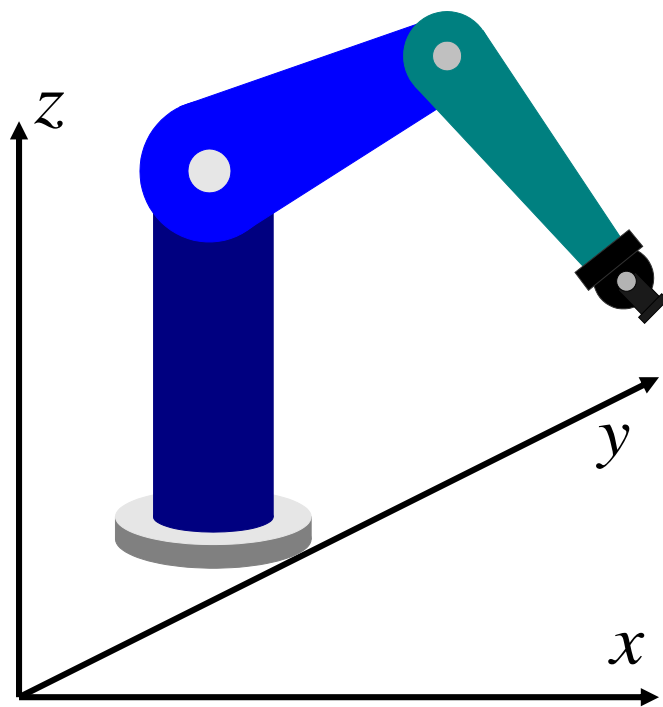
$$(x, y, z, \alpha, \beta, \gamma)$$



$$(q_1, q_2, \dots, q_N)$$

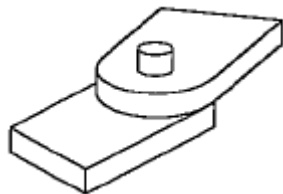
得到各关节角变量

用于运动控制

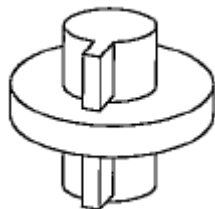


# 关节与连杆

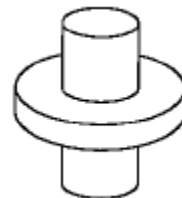
- 使两个刚体直接接触而又能产生一定相对运动的联接称为运动副，机器人的运动副也称关节，连杆即指由关节所联的刚体
- 若运动副联结的两刚体之间为面与面的接触，则称运动副为低副。六种常用的低副：



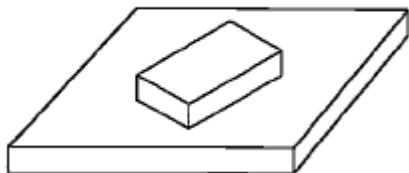
转动副（转动关节）



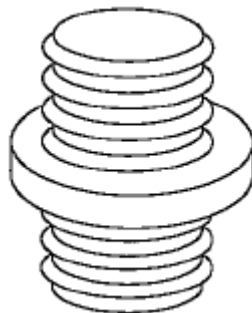
移动副（滑动关节或移动关节）



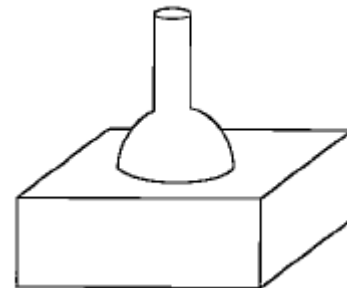
圆柱副



平面副



螺旋副



球面副

本课程中的关节仅限转动副和移动副

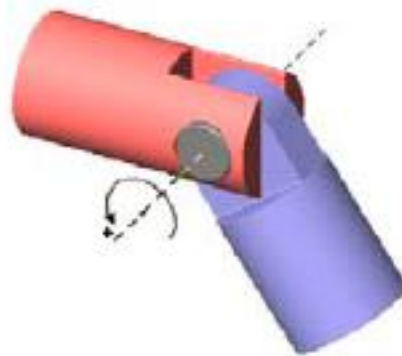
# 关节与连杆

- 连杆与关节：

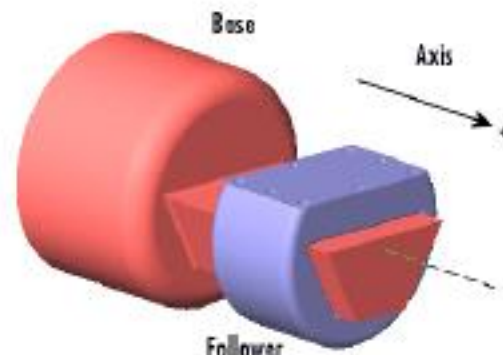
- 操作臂可以看成由一系列刚体通过关节连接而成的一个运动链
- 这些刚体称为连杆，通过关节将两个相邻的连杆连接起来

- 单自由度关节

- 旋转关节
- 移动关节



旋转关节



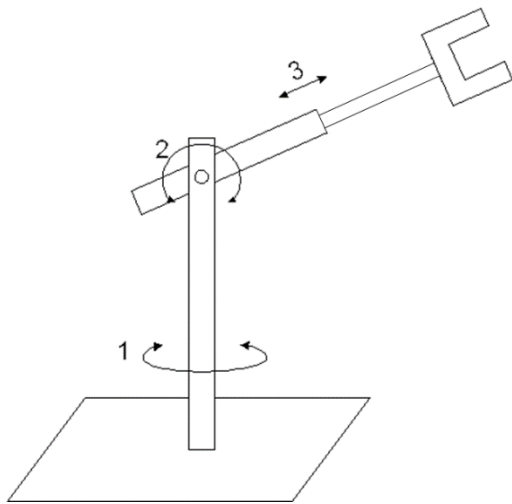
移动关节

- 多自由度关节

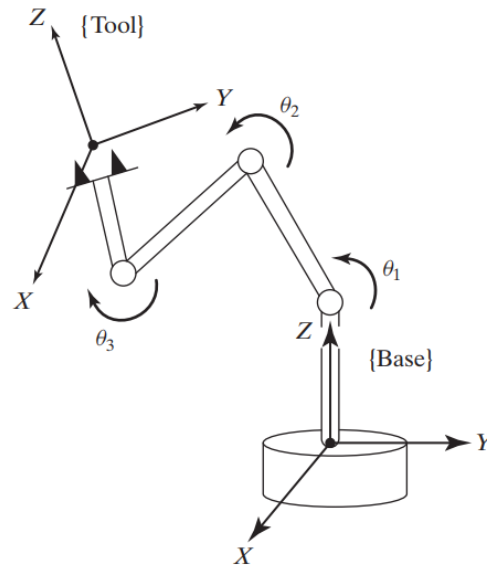
- 可以看成多个单自由度关节与长度为零的连杆构成

# 串联机械臂（串联机器人）

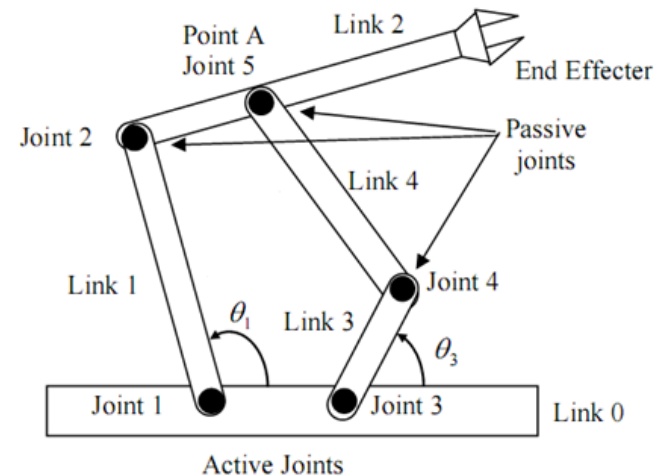
- **串联机构**：多个连杆通过关节以串联形式连接成首尾不封闭的机械结构



串联机械臂



串联机械臂



非串联机械臂

本课程仅研究串联机械臂（串联机器人）

# 串联机械臂（串联机器人）

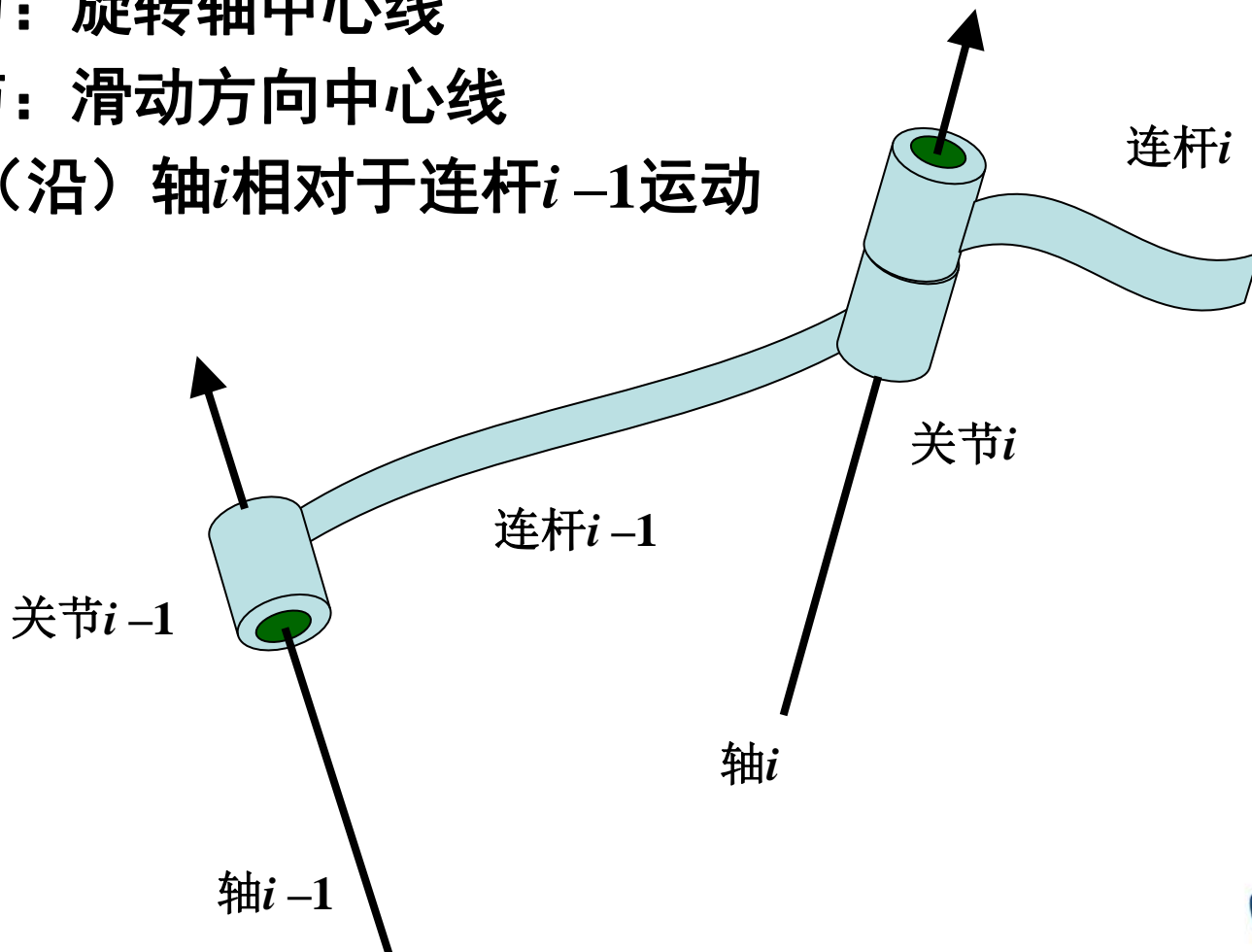
---

- 从串联机器人进行编号
  - 固定基座为连杆0
  - 第一个可动连杆为连杆1
  - 以此类推，机器人最末端的连杆为连杆N
  - 连杆0与连杆1通过关节1连接，...，连杆N-1与连杆N通过关节N连接
- 为了确定末端执行器在3维空间的位置和姿态，串联机器人至少需要6个关节



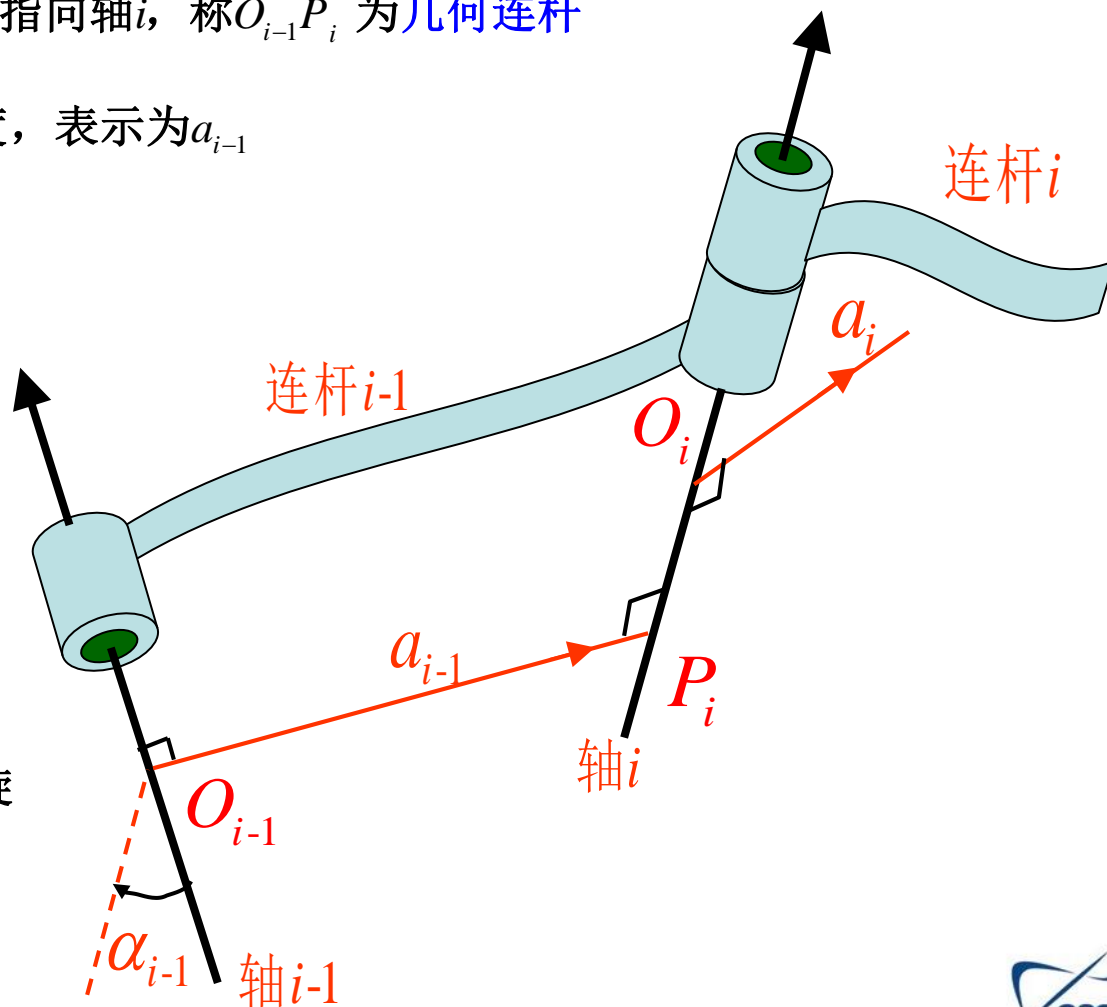
# 关节轴线

- 用空间中的直线“轴 $i$ ”表示关节 $i$ 的轴线
- 轴 $i$ 的正方向由设计者指定
- 旋转关节：旋转轴中心线
- 滑动关节：滑动方向中心线
- 连杆 $i$ 绕（沿）轴 $i$ 相对于连杆 $i-1$ 运动



# Denavit-Hartenberg参数 (连杆长度、连杆转角)

- 若轴 $i-1$ 和轴 $i$ 不平行，它们有唯一的公垂线段  
若轴 $i-1$ 和轴 $i$ 平行，它们的公垂线段不唯一，可按需取一条公垂线段  
公垂线段 $\overrightarrow{O_{i-1}P_i}$ 的正方向为轴 $i-1$ 指向轴 $i$ ，称 $\overrightarrow{O_{i-1}P_i}$ 为几何连杆
- 连杆长度：公垂线段 $\overrightarrow{O_{i-1}P_i}$ 的长度，表示为 $a_{i-1}$   
当 $a_{i-1}=0$ 时，我们并不将零长度的 $\overrightarrow{O_{i-1}P_i}$ 视为传统的零向量，而是在与轴 $i-1$ 和轴 $i$ 同时垂直的方向中选一个作为 $\overrightarrow{O_{i-1}P_i}$ 的正方向
- 连杆转角：过轴 $i-1$ 作一个平面垂直于 $\overrightarrow{O_{i-1}P_i}$ ，然后将轴 $i$ 投影到该平面上，按照轴 $i-1$ 绕 $\overrightarrow{O_{i-1}P_i}$ 旋转到轴 $i$ 投影的思路以右手螺旋法则确定轴 $i-1$ 与轴 $i$ 夹角的值，此夹角即为连杆转角 $\alpha_{i-1}$

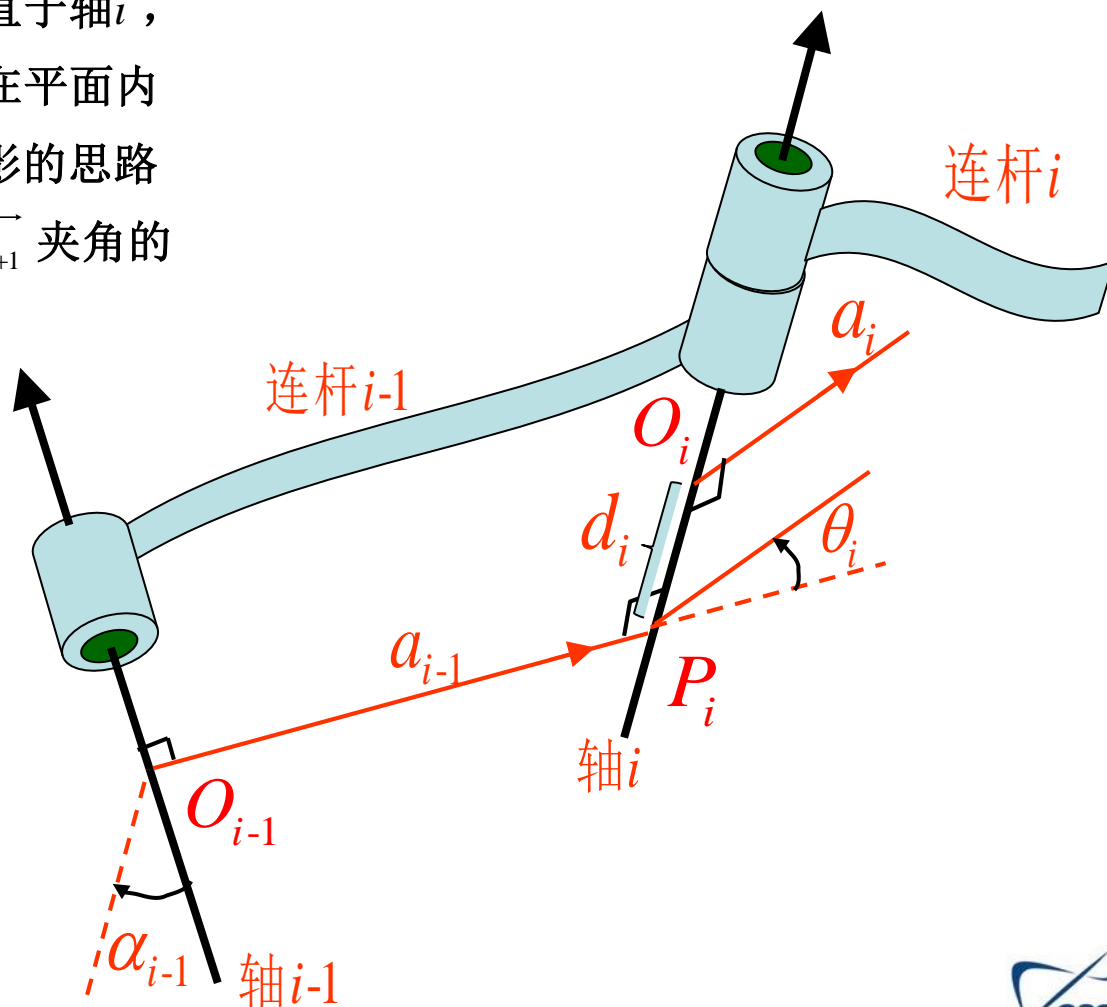


# Denavit-Hartenberg参数 (连杆偏距、关节角)

➤ 连杆偏距：从 $P_i$ 到 $O_i$ 的有向距离，记为 $d_i$

➤ 关节角：过 $\overrightarrow{O_{i-1}P_i}$ 作一个平面垂直于轴 $i$ ，然后将 $\overrightarrow{O_iP_{i+1}}$ 投影到该平面上，在平面内按照 $\overrightarrow{O_{i-1}P_i}$ 绕轴 $i$ 旋转到 $\overrightarrow{O_iP_{i+1}}$ 投影的思路以右手螺旋法则确定 $\overrightarrow{O_{i-1}P_i}$ 与 $\overrightarrow{O_iP_{i+1}}$ 夹角的值，此旋转角度即为关节角 $\theta_i$

➤ 连杆长度 $a_{i-1}$ 、连杆转角 $\alpha_{i-1}$ 、连杆偏距 $d_i$ 和关节角 $\theta_i$ 都称为关节 $i$ 的**运动学参量**



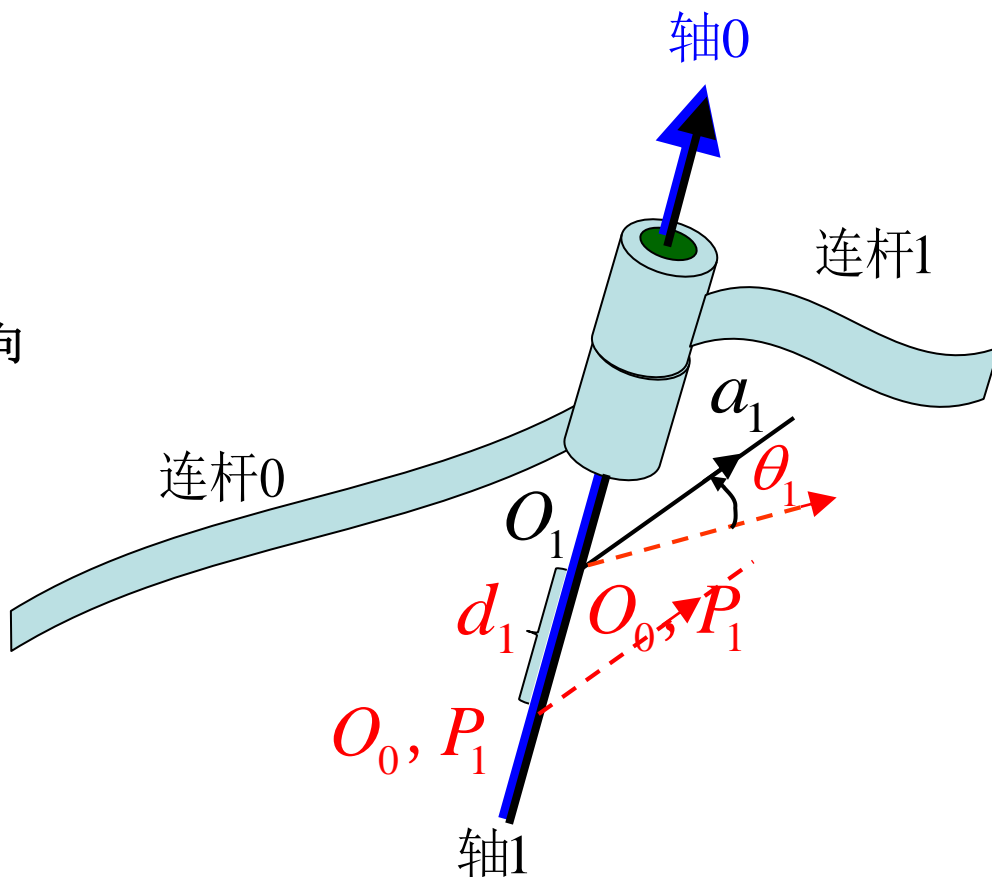
# 关节1的运动学参量（首关节约定）

➤ 设定一个虚拟的轴0与轴1重合，即取 $a_0 = 0, \alpha_0 = 0$

➤ 若关节1是转动关节，取 $d_1 = 0$ ，而 $\overrightarrow{O_0P_1}$ 的方向则任取与轴1垂直的某个方向，取 $\overrightarrow{O_0P_1}$ 的方向就是决定 $\overrightarrow{O_1P_2}$ 的零位方向

➤ 若关节1是滑动关节，取 $\theta_1 = 0$ ，而 $\overrightarrow{O_0P_1}$ 的位置则任取轴1上的某个点，取 $\overrightarrow{O_0P_1}$ 的位置就是决定 $\overrightarrow{O_1P_2}$ 的零位位置

➤  $\overrightarrow{O_0P_1}$  是一个固定不动的几何连杆

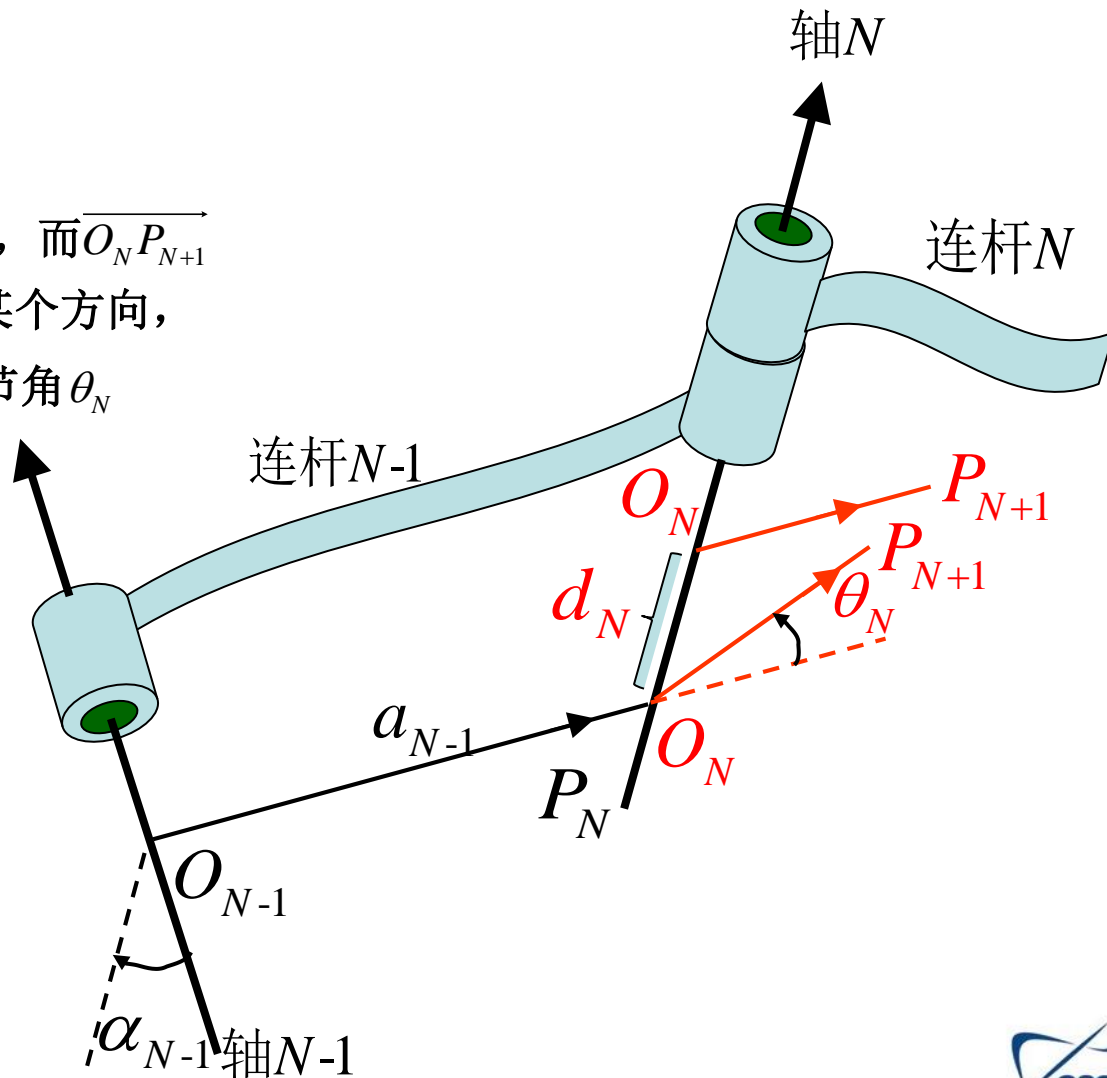


# 关节N的运动学参量（尾关节约定）

➤ 轴 $N-1$  和轴 $N$  存在,  $a_{N-1}$  和  $\alpha_{N-1}$  已知, 需要选取长度任意的  $\overrightarrow{O_N P_{N+1}}$

➤ 若关节 $N$  是转动关节, 取  $d_N=0$ , 而  $\overrightarrow{O_N P_{N+1}}$  的方向则任取与连杆 $N$  固连的某个方向,  $\overrightarrow{O_N P_{N+1}}$  与  $\overrightarrow{O_{N-1} P_N}$  的夹角即是关节角  $\theta_N$

➤ 若关节 $N$  是滑动关节, 取  $\theta_N=0$ , 而点  $O_N$  则任取轴 $N$  上与连杆 $N$  固连的某个点,  $O_N$  与  $P_N$  的相对位移即决定了连杆偏距  $d_N$



## 2.8 建立坐标系的改进D-H方法 ( MDH, modified DH )

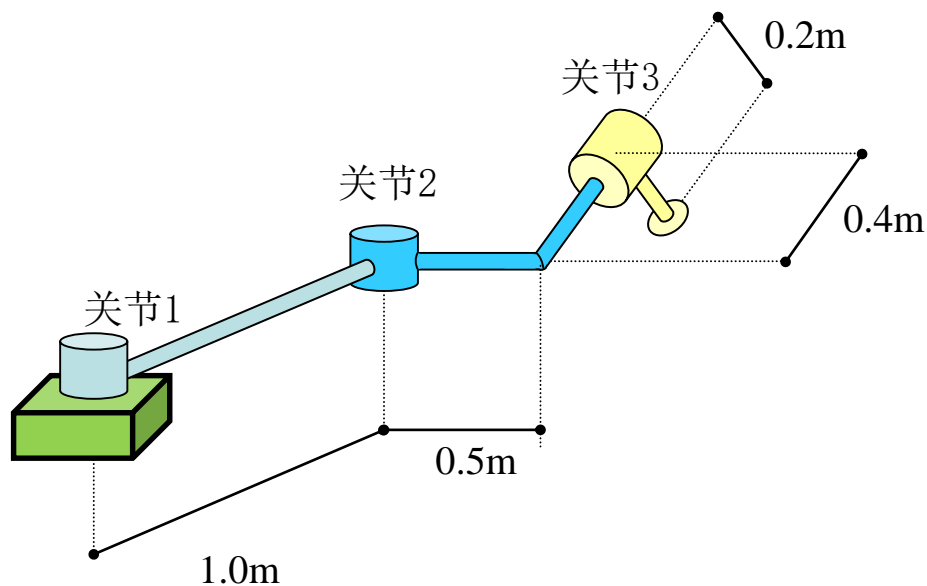


# 运动学参量表

- $a_{i-1}$  和  $\alpha_{i-1}$  是固定不变的参数，不会随着关节 $i$ 的运动而变化
- 若关节 $i$ 是转动关节，则 $d_i$ 是固定不变的参数， $\theta_i$ 是会随着关节 $i$ 的运动而变化的关节变量，即：  
3个连杆参数  $a_{i-1}, \alpha_{i-1}, d_i$       1个关节变量  $\theta_i$
- 若关节 $i$ 是滑动关节，则 $\theta_i$ 是固定不变的参数， $d_i$ 是会随着关节 $i$ 的运动而变化的关节变量，即：  
3个连杆参数  $a_{i-1}, \alpha_{i-1}, \theta_i$       1个关节变量  $d_i$
- 一个有 $N$ 个关节的串联机构，有 $4N$ 个运动学参量，其中 $3N$ 个是连杆参数、 $N$ 个是关节变量，它们包含了串联机构的全部空间几何信息

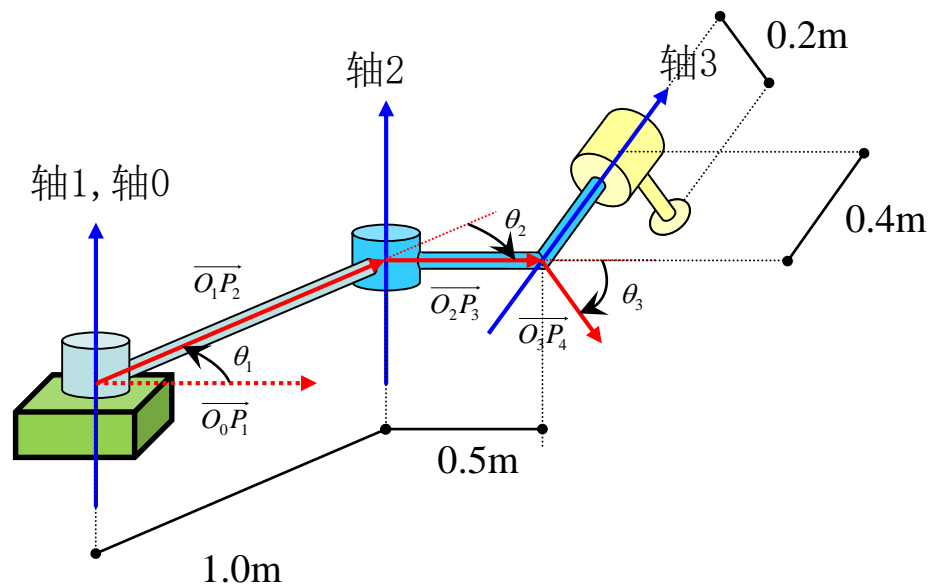
# 运动学参量表

例2.8.1：下图所示为一个3关节串联机械臂，该臂的末端装有吸盘作为操作工具。试在此机构上建立几何连杆、写出各连杆参数的值并列出各关节变量





# 运动学参量表



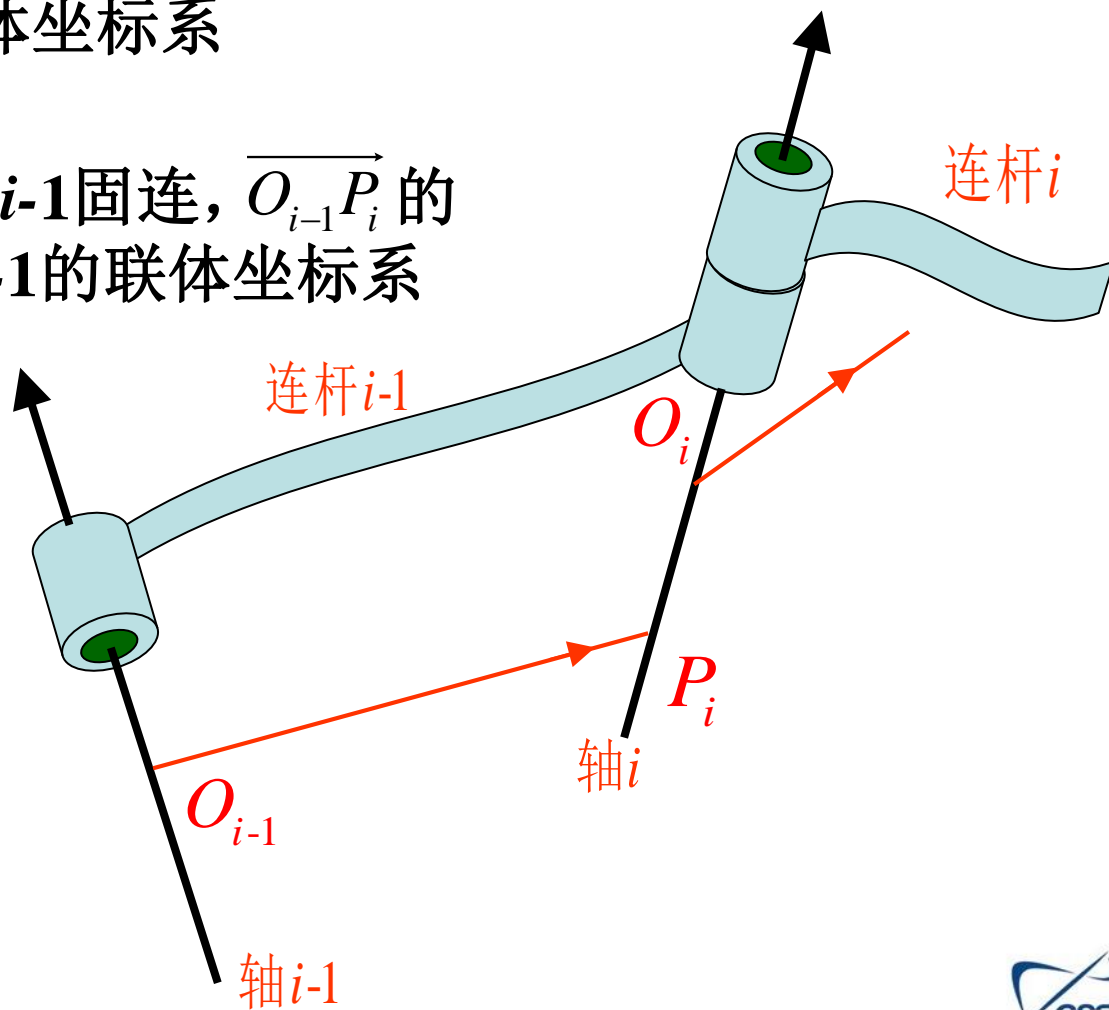
运动学参量表

关节 $i$	$\alpha_{i-1}(\text{rad})$	$a_{i-1}(\text{m})$	$d_i(\text{m})$	$\theta_i(\text{rad})$
1	0	0	0	$\theta_1$
2	0	1	0	$\theta_2$
3	$-\pi/2$	0.5	0	$\theta_3$

运动学参量表结果不唯一

# 连杆联体坐标系的配置

- 串联机器人是一个多体系统 ( $N+1$ 个刚体)，描述机器人的运动即是描述 $N+1$ 个刚体的运动，因此需要建立每个刚体（实物连杆）的联体坐标系
- 几何连杆  $\overrightarrow{O_{i-1}P_i}$  与连杆 $i-1$ 固连， $\overrightarrow{O_{i-1}P_i}$  的联体坐标系也是连杆 $i-1$ 的联体坐标系



# 连杆联体坐标系的配置

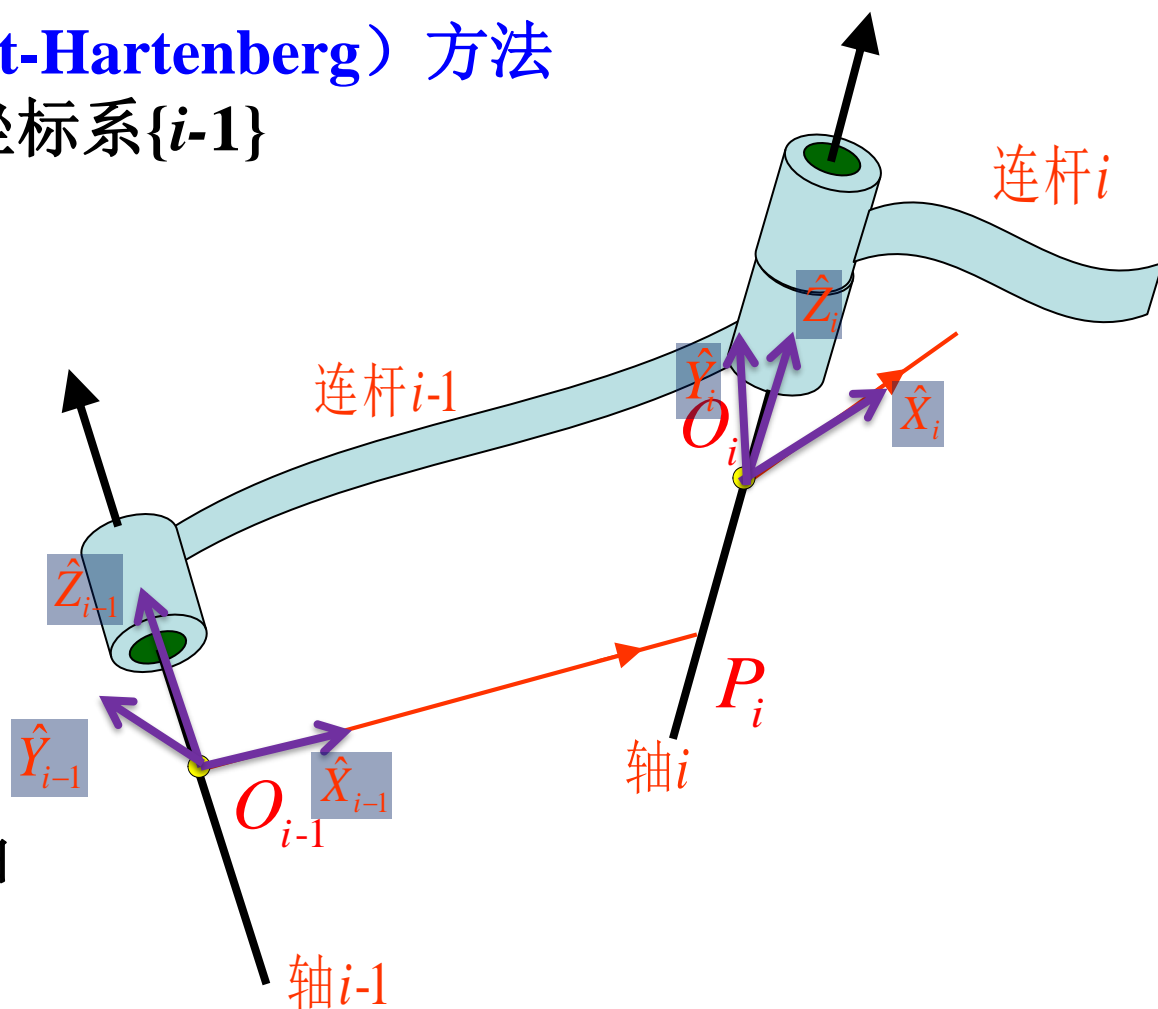
- 改进的D-H (Denavit-Hartenberg) 方法  
建立连杆 $i-1$ 的联体坐标系 $\{i-1\}$

$O_{i-1}$ 为 $\{i-1\}$ 的原点

轴 $i-1$ 为 $\{i-1\}$ 的Z轴

$\overrightarrow{O_{i-1}P_i}$ 为 $\{i-1\}$ 的X轴

右手定则定 $\{i-1\}$ 的Y轴

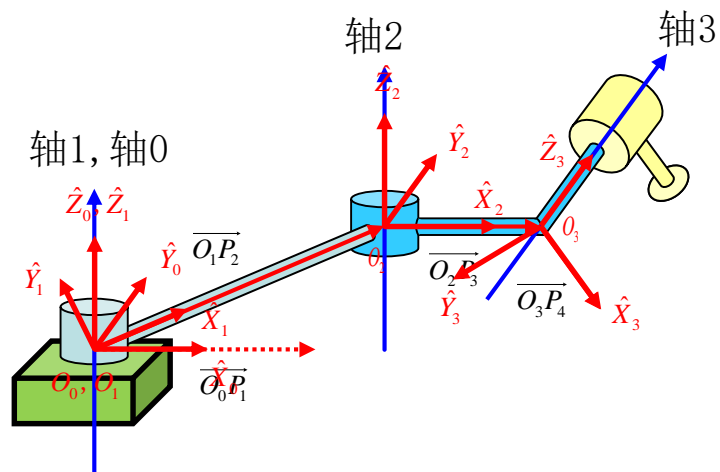


Matlab的Link函数的方法选项

'modefied'为改进D-H法; 'standard'或缺省为标准D-H法

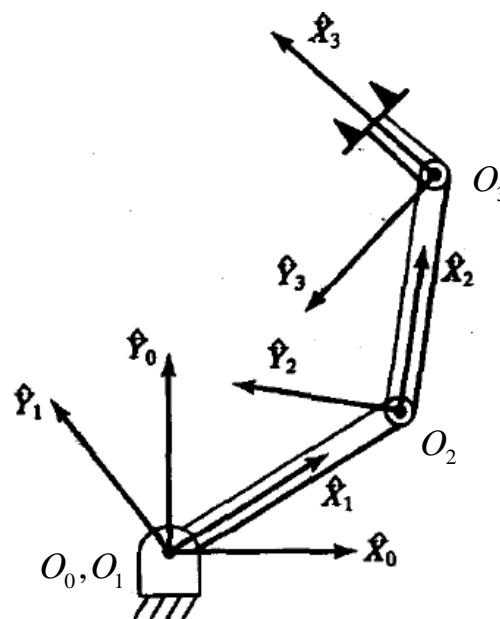
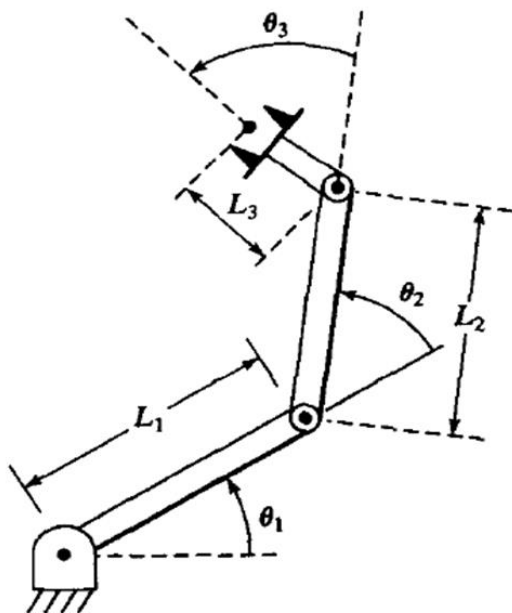
# 连杆联体坐标系的配置

例2.8.2：采用改进D-H方法建立例2.8.1的连杆联体坐标系



# 连杆联体坐标系的配置

例2.8.3：采用改进D-H方法建立如图机器人的连杆联体坐标系



运动学参量表

关节 $i$	$\alpha_{i-1}(\text{rad})$	$a_{i-1}(\text{m})$	$d_i(\text{m})$	$\theta_i(\text{rad})$
1	0	0	0	$\theta_1$
2	0	$L_1$	0	$\theta_2$
3	0	$L_2$	0	$\theta_3$

改进D-H方法建立的  
连杆联体坐标系  
不唯一

## 2.9 机器人的正运动学计算



# 相邻连杆联体坐标系的变换

$${}^{i-1}_iT = \begin{bmatrix} R_x(\alpha_{i-1}) & 0 \\ 0 & 1 \end{bmatrix} \begin{bmatrix} 1 & 0 & 0 & a_{i-1} \\ 0 & 1 & 0 & 0 \\ 0 & 0 & 1 & 0 \\ 0 & 0 & 0 & 1 \end{bmatrix} \begin{bmatrix} R_z(\theta_i) & 0 \\ 0 & 1 \end{bmatrix} \begin{bmatrix} 1 & 0 & 0 & 0 \\ 0 & 1 & 0 & 0 \\ 0 & 0 & 1 & d_i \\ 0 & 0 & 0 & 1 \end{bmatrix}$$

$$= \begin{bmatrix} \cos \theta_i & -\sin \theta_i & 0 & a_{i-1} \\ \sin \theta_i \cos \alpha_{i-1} & \cos \theta_i \cos \alpha_{i-1} & -\sin \alpha_{i-1} & -\sin \alpha_{i-1} d_i \\ \sin \theta_i \sin \alpha_{i-1} & \cos \theta_i \sin \alpha_{i-1} & \cos \alpha_{i-1} & \cos \alpha_{i-1} d_i \\ 0 & 0 & 0 & 1 \end{bmatrix}$$

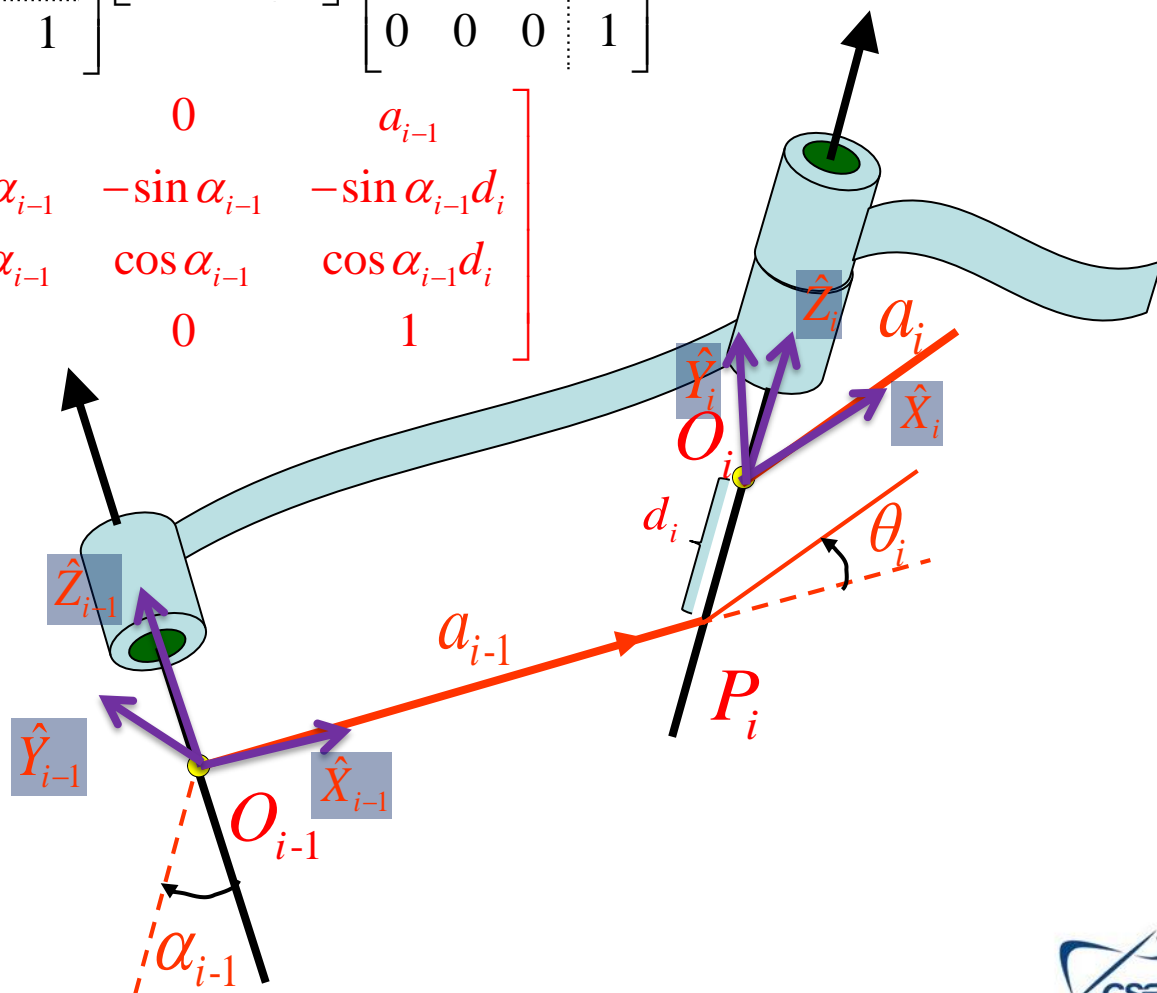
{i-1}经四步变换成为{i}

绕联体X轴旋转  $\alpha_{i-1}$

沿联体X轴滑动  $a_{i-1}$

绕联体Z轴旋转  $\theta_i$

沿联体Z轴滑动  $d_i$



# 正运动学问题及其求解

**正运动学问题：**已知各关节变量的值，以基座坐标系为参考系，求末端工具联体坐标系的位姿

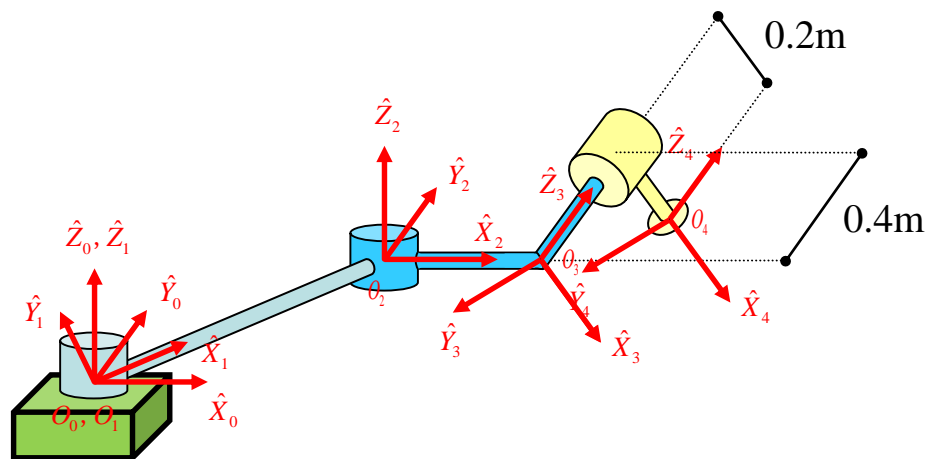
**解法：**  ${}^0_nT = {}^0_1T {}^1_2T \cdots {}^{n-1}_nT$

$${}^{i-1}_iT = \begin{bmatrix} \cos \theta_i & -\sin \theta_i & 0 & a_{i-1} \\ \sin \theta_i \cos \alpha_{i-1} & \cos \theta_i \cos \alpha_{i-1} & -\sin \alpha_{i-1} & -\sin \alpha_{i-1} d_i \\ \sin \theta_i \sin \alpha_{i-1} & \cos \theta_i \sin \alpha_{i-1} & \cos \alpha_{i-1} & \cos \alpha_{i-1} d_i \\ 0 & 0 & 0 & 1 \end{bmatrix}$$



# 正运动学问题及其求解

为描述例2.8.1中的操作工具吸盘，建立了吸盘联体坐标系{4}，其原点为吸盘中心、姿态与{3}相同



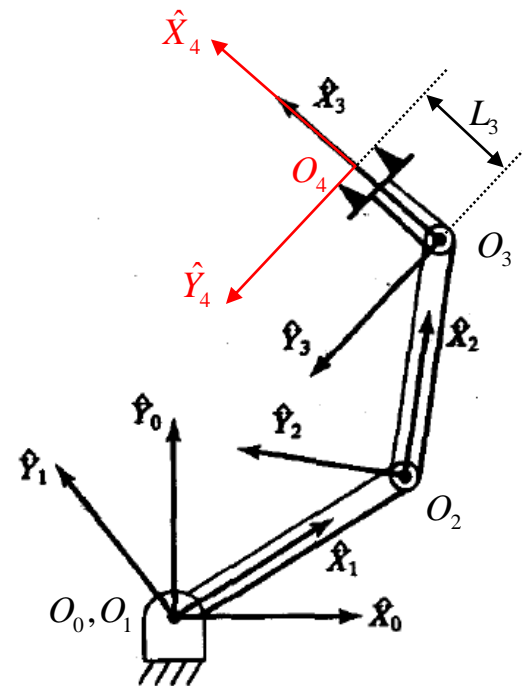
$${}^3_4T = \begin{bmatrix} 1 & 0 & 0 & 0.2 \\ 0 & 1 & 0 & 0 \\ 0 & 0 & 1 & 0.4 \\ \hline 0 & 0 & 0 & 1 \end{bmatrix}$$

$${}^0_4T(\theta_1, \theta_2, \theta_3) = {}^0_1T(\theta_1) {}^1_2T(\theta_2) {}^2_3T(\theta_3) {}^3_4T$$

# 正运动学问题及其求解

对2.8.3的机器人，建立工具的联体坐标系{4}，其原点为夹具末端中点、姿态与{3}相同

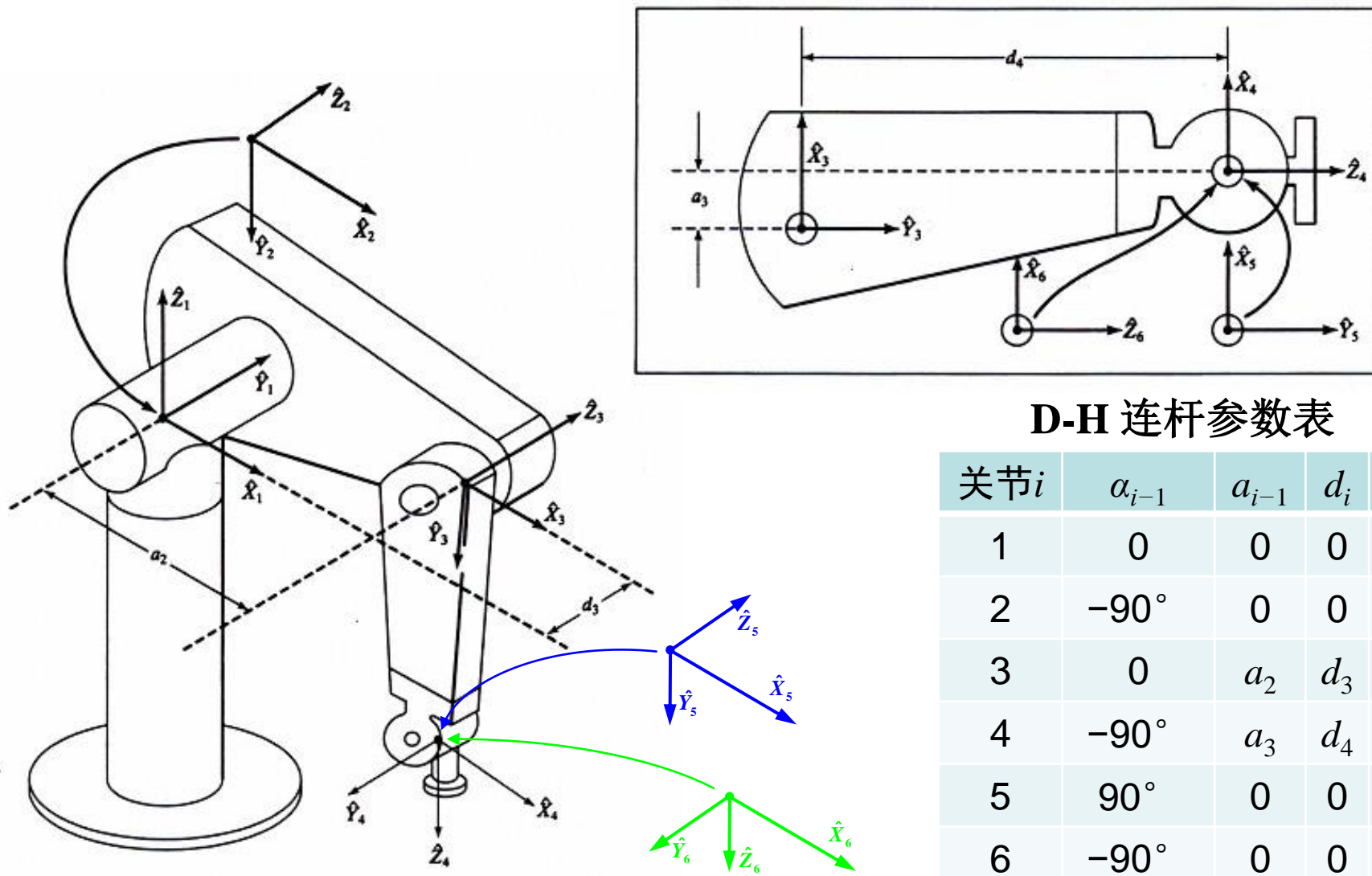
$${}^3_4T = \left[ \begin{array}{ccc|c} 1 & 0 & 0 & L_3 \\ 0 & 1 & 0 & 0 \\ 0 & 0 & 1 & 0 \\ \hline 0 & 0 & 0 & 1 \end{array} \right]$$



$${}^0_4T(\theta_1, \theta_2, \theta_3) = {}^0_1T(\theta_1) {}^1_2T(\theta_2) {}^2_3T(\theta_3) {}^3_4T$$

# 典型机器人：PUMA 560机器人

- 6R机构，轴4、5、6相互垂直且交于一点



D-H 连杆参数表

关节 <i>i</i>	$\alpha_{i-1}$	$a_{i-1}$	$d_i$	$\theta_i$
1	0	0	0	$\theta_1$
2	$-90^\circ$	0	0	$\theta_2$
3	0	$a_2$	$d_3$	$\theta_3$
4	$-90^\circ$	$a_3$	$d_4$	$\theta_4$
5	$90^\circ$	0	0	$\theta_5$
6	$-90^\circ$	0	0	$\theta_6$

# 典型机器人：P

$${}^{i-1}_iT = \begin{bmatrix} \cos \theta_i & -\sin \theta_i & 0 & a_{i-1} \\ \sin \theta_i \cos \alpha_{i-1} & \cos \theta_i \cos \alpha_{i-1} & -\sin \alpha_{i-1} & -\sin \alpha_{i-1} d_i \\ \sin \theta_i \sin \alpha_{i-1} & \cos \theta_i \sin \alpha_{i-1} & \cos \alpha_{i-1} & \cos \alpha_{i-1} d_i \\ 0 & 0 & 0 & 1 \end{bmatrix}$$

## ● 求出每对相邻坐标系的齐次变换矩阵

$${}^0_1T = \begin{bmatrix} c\theta_1 & -s\theta_1 & 0 & 0 \\ s\theta_1 & c\theta_1 & 0 & 0 \\ 0 & 0 & 1 & 0 \\ 0 & 0 & 0 & 1 \end{bmatrix} \quad {}^1_2T = \begin{bmatrix} c\theta_2 & -s\theta_2 & 0 & 0 \\ 0 & 0 & 1 & 0 \\ -s\theta_2 & -c\theta_2 & 0 & 0 \\ 0 & 0 & 0 & 1 \end{bmatrix} \quad {}^2_3T = \begin{bmatrix} c\theta_3 & -s\theta_3 & 0 & a_2 \\ s\theta_3 & c\theta_3 & 0 & 0 \\ 0 & 0 & 1 & d_3 \\ 0 & 0 & 0 & 1 \end{bmatrix}$$

$${}^3_4T = \begin{bmatrix} c\theta_4 & -s\theta_4 & 0 & a_3 \\ 0 & 0 & 1 & d_4 \\ -s\theta_4 & -c\theta_4 & 0 & 0 \\ 0 & 0 & 0 & 1 \end{bmatrix} \quad {}^4_5T = \begin{bmatrix} c\theta_5 & -s\theta_5 & 0 & 0 \\ 0 & 0 & -1 & 0 \\ s\theta_5 & c\theta_5 & 0 & 0 \\ 0 & 0 & 0 & 1 \end{bmatrix} \quad {}^5_6T = \begin{bmatrix} c\theta_6 & -s\theta_6 & 0 & 0 \\ 0 & 0 & 1 & 0 \\ -s\theta_6 & -c\theta_6 & 0 & 0 \\ 0 & 0 & 0 & 1 \end{bmatrix}$$

# 典型机器人：PUMA 560机器人

$${}^3_4T = \begin{bmatrix} c\theta_4 & -s\theta_4 & 0 & a_3 \\ 0 & 0 & 1 & d_4 \\ -s\theta_4 & -c\theta_4 & 0 & 0 \\ 0 & 0 & 0 & 1 \end{bmatrix}$$

$${}^4_5T = \begin{bmatrix} c\theta_5 & -s\theta_5 & 0 & 0 \\ 0 & 0 & -1 & 0 \\ s\theta_5 & c\theta_5 & 0 & 0 \\ 0 & 0 & 0 & 1 \end{bmatrix}$$

$${}^5_6T = \begin{bmatrix} c\theta_6 & -s\theta_6 & 0 & 0 \\ 0 & 0 & 1 & 0 \\ -s\theta_6 & -c\theta_6 & 0 & 0 \\ 0 & 0 & 0 & 1 \end{bmatrix}$$

从  ${}^4_5T$  和  ${}^5_6T$  相乘开始:

$${}^4_6T = {}^4_5T {}^5_6T = \begin{bmatrix} c_5c_6 & -c_5s_6 & -s_5 & 0 \\ s_6 & c_6 & 0 & 0 \\ s_5c_6 & -s_5s_6 & c_5 & 0 \\ 0 & 0 & 0 & 1 \end{bmatrix}$$

$${}^3_6T = {}^3_4T {}^4_6T = \begin{bmatrix} c_4c_5c_6 - s_4s_6 & -c_4c_5s_6 - s_4c_6 & -c_4s_5 & a_3 \\ s_5c_6 & -s_5s_6 & c_5 & d_4 \\ -s_4c_5c_6 - c_4s_6 & s_4c_5s_6 - c_4c_6 & s_4s_5 & 0 \\ 0 & 0 & 0 & 1 \end{bmatrix}$$

# 典型机器人：PUMA 560机器人

$${}^1_2T = \begin{bmatrix} c\theta_2 & -s\theta_2 & 0 & 0 \\ 0 & 0 & 1 & 0 \\ -s\theta_2 & -c\theta_2 & 0 & 0 \\ 0 & 0 & 0 & 1 \end{bmatrix} \quad {}^2_3T = \begin{bmatrix} c\theta_3 & -s\theta_3 & 0 & a_2 \\ s\theta_3 & c\theta_3 & 0 & 0 \\ 0 & 0 & 1 & d_3 \\ 0 & 0 & 0 & 1 \end{bmatrix}$$

因为关节2和关节3是平行的，所以  ${}^1_2T$  和  ${}^2_3T$  的乘积用和角公式得到一个简化的表达式，只要两个旋转关节轴平行就可以这样处理，因此得到：

$${}^1_3T = {}^1_2T {}^2_3T = \begin{bmatrix} c_{23} & -s_{23} & 0 & a_2 c_2 \\ 0 & 0 & 1 & d_3 \\ -s_{23} & -c_{23} & 0 & -a_2 s_2 \\ 0 & 0 & 0 & 1 \end{bmatrix}$$

$$c_{23} = \cos(\theta_2 + \theta_3), s_{23} = \sin(\theta_2 + \theta_3)$$



# 典型机器人:

$${}^3_6T = \begin{bmatrix} c_4 c_5 c_6 - s_4 s_6 & -c_4 c_5 s_6 - s_4 c_6 & -c_4 s_5 & a_3 \\ s_5 c_6 & -s_5 s_6 & c_5 & d_4 \\ -s_4 c_5 c_6 - c_4 s_6 & s_4 c_5 s_6 - c_4 c_6 & s_4 s_5 & 0 \\ 0 & 0 & 0 & 1 \end{bmatrix}$$

$${}^1_3T = \begin{bmatrix} c_{23} & -s_{23} & 0 & a_2 c_2 \\ 0 & 0 & 1 & d_3 \\ -s_{23} & -c_{23} & 0 & -a_2 s_2 \\ 0 & 0 & 0 & 1 \end{bmatrix}$$

继续矩阵相乘:

$${}^1_6T = {}^1_3T {}^3_6T = \begin{bmatrix} {}^1r_{11} & {}^1r_{12} & {}^1r_{13} & {}^1p_x \\ {}^1r_{21} & {}^1r_{22} & {}^1r_{23} & {}^1p_y \\ {}^1r_{31} & {}^1r_{32} & {}^1r_{33} & {}^1p_z \\ 0 & 0 & 0 & 1 \end{bmatrix}$$

$$\begin{aligned} {}^1r_{11} &= c_{23}[c_4 c_5 c_6 - s_4 s_6] - s_{23} s_5 s_6 \\ {}^1r_{21} &= -s_4 c_5 c_6 - c_4 s_6 \\ {}^1r_{31} &= -s_{23}[c_4 c_5 c_6 - s_4 s_6] - c_{23} s_5 c_6 \\ {}^1r_{12} &= -c_{23}[c_4 c_5 s_6 + s_4 c_6] + s_{23} s_5 s_6 \\ {}^1r_{22} &= s_4 c_5 s_6 - c_4 c_6 \\ {}^1r_{32} &= s_{23}[c_4 c_5 s_6 + s_4 c_6] + c_{23} s_5 s_6 \\ {}^1r_{13} &= -c_{23} c_4 s_5 - s_{23} c_5 \\ {}^1r_{23} &= s_4 s_5 \\ {}^1r_{33} &= s_{23} c_4 s_5 - c_{23} c_5 \\ {}^1p_x &= a_2 c_2 + a_3 c_{23} - d_4 s_{23} \\ {}^1p_y &= d_3 \\ {}^1p_z &= -a_3 s_{23} - a_2 s_2 - d_4 c_{23} \end{aligned}$$

# 典型机器人：PUMA 560机器人

最后，得到六个连杆坐标变换阵的乘积：

$${}^0_6T = {}^0_1T {}^1_6T = \begin{bmatrix} r_{11} & r_{12} & r_{13} & p_x \\ r_{21} & r_{22} & r_{23} & p_y \\ r_{31} & r_{32} & r_{33} & p_z \\ 0 & 0 & 0 & 1 \end{bmatrix}$$

$$r_{11} = c_1[c_{23}(c_4c_5c_6 - s_4s_5) - s_{23}s_5c_5] + s_1(s_4c_5c_6 + c_4s_6)$$

$$r_{21} = s_1[c_{23}(c_4c_5c_6 - s_4s_6) - s_{23}s_5c_6] - c_1(s_4c_5c_6 + c_4s_6)$$

$$r_{31} = -s_{23}[c_4c_5c_6 - s_4s_6] - c_{23}s_5c_6$$

$$r_{12} = c_1[c_{23}(-c_4c_5s_6 - s_4c_6) + s_{23}s_5s_5] + s_1(c_4c_6 - s_4c_5s_6)$$

$$r_{22} = s_1[c_{23}(-c_4c_5s_6 - s_4c_6) + s_{23}s_5s_6] - c_1(c_4c_6 - s_4c_5s_6)$$

$$r_{32} = -s_{23}[c_4c_5s_6 - s_4c_6] + c_{23}s_5s_6$$

$$r_{13} = -c_1[c_{23}c_4s_5 + s_{23}c_5] - s_1s_4s_5$$

$$r_{23} = -s_1[c_{23}c_4s_5 + s_{23}c_5] + c_1s_4s_5$$

$$r_{33} = s_{23}c_4s_5 - c_{23}c_5$$

$$p_x = c_1[a_2c_2 + a_3c_{23} - d_4s_{23}] - d_3s_1$$

$$p_y = s_1[a_2c_2 + a_3c_{23} - d_4s_{23}] + d_3c_1$$

$$p_z = -a_3s_{23} - a_2s_2 - d_4c_{23}$$



# 关节空间和笛卡尔空间

---

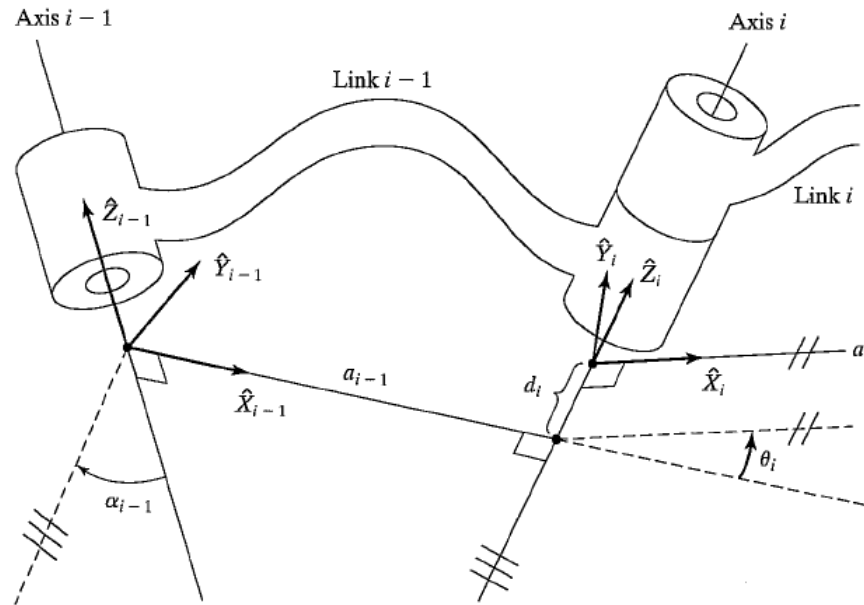
- 对于具有N个关节的串联机器人，其N个关节变量可形成一个 $N \times 1$ 的**关节矢量**。所有关节矢量构成的空间称为**关节空间**。关节空间中的每一个关节矢量都确定了机器人的一个**位形**
- **笛卡尔空间**：该空间中的每一个元素可以确定刚体的一个位姿，刚体位置在直角参考系中度量，刚体姿态按照旋转矩阵、欧拉角、固定角、等效轴角、单位四元数或其他合适的描述方式度量
- 正运动学      关节空间→笛卡尔空间

---

## 讨论：坐标系选择

# 复习一下：MDH坐标系

- $i-1$  和  $i$  坐标系之间的变换包含四个基本变换
- 绕  $X_{i-1}$  轴旋转  $\alpha_{i-1}$  使  $Z_{i-1}$  轴与  $Z_i$  轴平行。
  - 沿  $X_{i-1}$  轴平移  $a_{i-1}$  使  $Z_{i-1}$  轴与  $Z_i$  轴一致。
  - 绕  $Z_i$  轴旋转  $\theta_i$  使  $X_{i-1}$  轴与  $X_i$  轴平行。
  - 沿  $Z_i$  轴平移  $d_i$  使坐标原点  $O_{i-1}$  和  $O_i$  一致，两坐标系完全一致。



# 复习一下：MDH坐标系

## ➤ $i-1$ 和 $i$ 坐标系之间的D-H 变换矩阵

–  $i$ 坐标系中的位置和方位在 $i-1$ 坐标系中的表示由如下的齐次变换矩阵决定

参考坐标系

$${}^{i-1}_iT = R(x_{i-1}, \alpha_{i-1})T(x_{i-1}, a_{i-1})R(z_i, \theta_i)T(z_i, d_i)$$

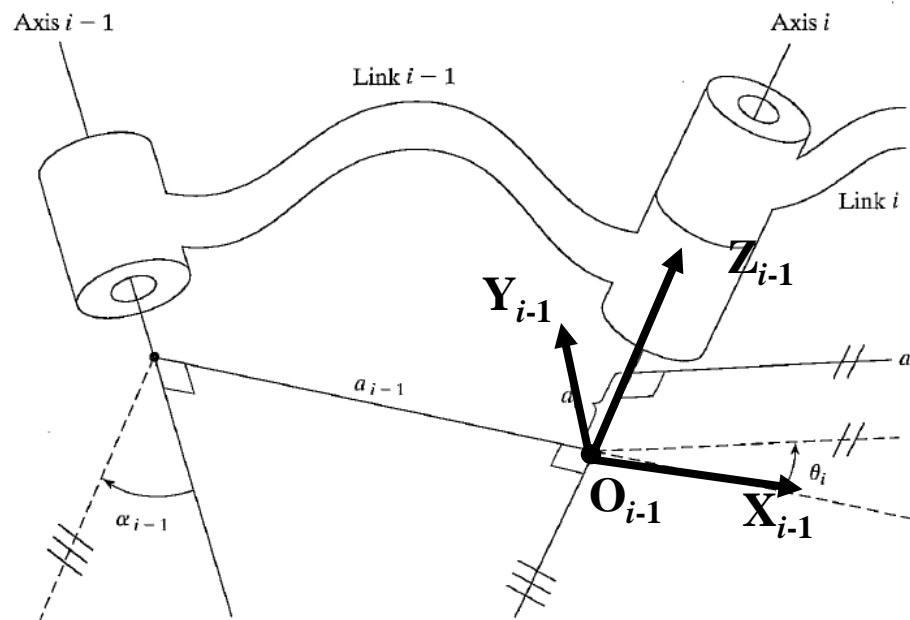
源坐标系

$$= \begin{bmatrix} 1 & 0 & 0 & 0 \\ 0 & C\alpha_{i-1} & -S\alpha_{i-1} & 0 \\ 0 & S\alpha_{i-1} & C\alpha_{i-1} & 0 \\ 0 & 0 & 0 & 1 \end{bmatrix} \begin{bmatrix} 1 & 0 & 0 & a_{i-1} \\ 0 & 1 & 0 & 0 \\ 0 & 0 & 1 & 0 \\ 0 & 0 & 0 & 1 \end{bmatrix} \begin{bmatrix} C\theta_i & -S\theta_i & 0 & 0 \\ S\theta_i & C\theta_i & 0 & 0 \\ 0 & 0 & 1 & 0 \\ 0 & 0 & 0 & 1 \end{bmatrix} \begin{bmatrix} 1 & 0 & 0 & 0 \\ 0 & 1 & 0 & 0 \\ 0 & 0 & 1 & d_i \\ 0 & 0 & 0 & 1 \end{bmatrix}$$

$$= \begin{bmatrix} C\theta_i & -S\theta_i & 0 & a_{i-1} \\ S\theta_i C\alpha_{i-1} & C\theta_i C\alpha_{i-1} & -S\alpha_{i-1} & -d_i S\alpha_{i-1} \\ S\theta_i S\alpha_{i-1} & C\theta_i S\alpha_{i-1} & C\alpha_{i-1} & d_i C\alpha_{i-1} \\ 0 & 0 & 0 & 1 \end{bmatrix}$$

# 另一种选择：经典（标准）DH坐标系 (SDH, Standard DH)

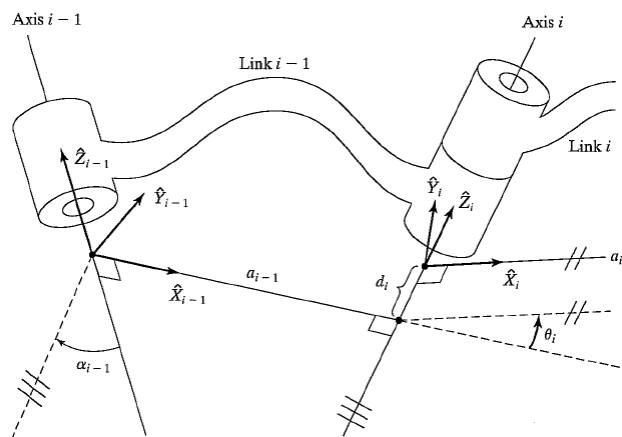
- 相同的D-H参数，不同的连杆坐标系选择，得到的D-H变换阵不同
- 关键在于约定定义在建模时一定要保持一致



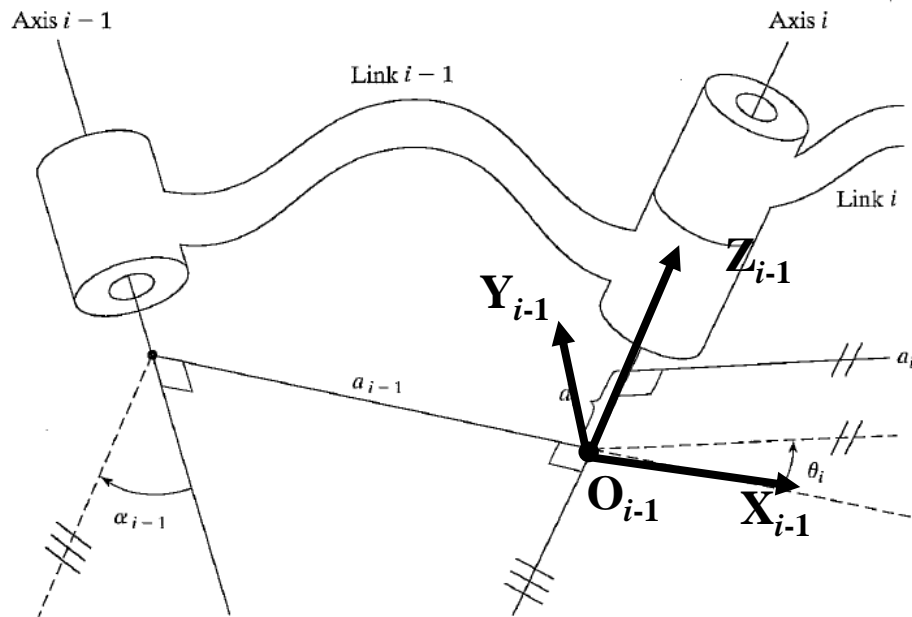
- 主要不同：坐标系原点的选取不同。

# MDH与SDH对比

## ➤ 对比



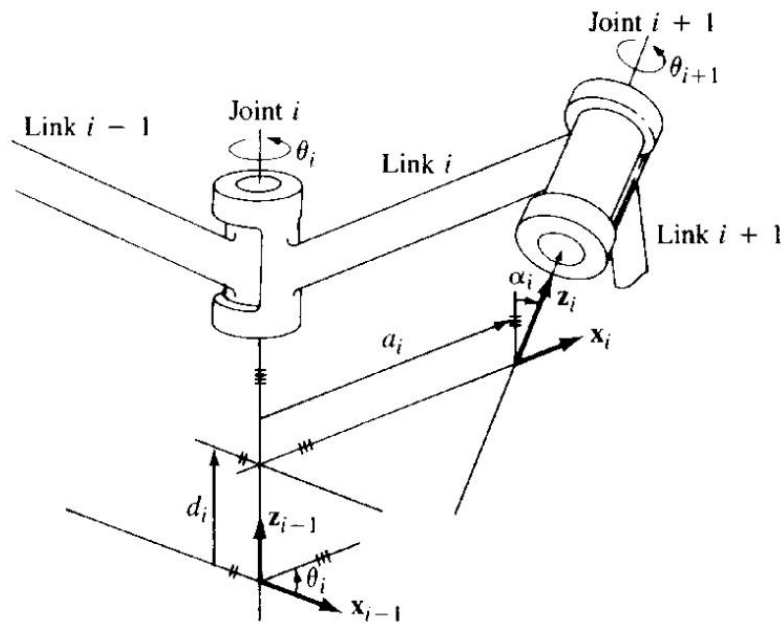
- 第一种 (MDH)
- 取关节轴线  $J_i$  和  $J_{i+1}$  的公垂线与  $J_i$  轴的交点为第  $i$  坐标系的原点。
- 关节  $i$  的轴  $J_i$  为  $Z_i$  轴



- 第二种 (SDH)
- 取关节轴线  $J_{i-1}$  和  $J_i$  的公垂线与  $J_{i-1}$  轴的交点为第  $i-1$  坐标系的原点。
- 关节  $i$  的轴  $J_i$  为  $Z_{i-1}$  轴

# SDH坐标系

- $i-1$ 和  $i$ 坐标系之间的变换包含四个基本变换
- 绕  $Z_{i-1}$  轴旋转  $\theta_i$  使  $X_{i-1}$  轴与  $X_i$  轴平行。
  - 沿  $Z_{i-1}$  轴平移  $d_i$  使  $X_{i-1}$  轴与  $X_i$  轴一致。
  - 沿  $X_i$  轴平移  $a_i$  使坐标原点  $O_{i-1}$  和  $O_i$  一致（ $X_{i-1}$  轴与  $X_i$  轴仍然保持一致）。
  - 绕  $X_i$  轴旋转  $\alpha_i$  使两坐标系完全一致。



# SDH坐标系

## ➤ $i-1$ 和 $i$ 坐标系之间的D-H 变换矩阵

–  $i$ 坐标系中的位置和方位在 $i-1$ 坐标系中的表示由如下的齐次变换矩阵决定

参考坐标系

$${}^{i-1}_iT = R(z_{i-1}, \theta_i) T(z_{i-1}, d_i) T(x_i, a_i) R(x_i, \alpha_i)$$

源坐标系

$$= \begin{bmatrix} C\theta_i & -S\theta_i & 0 & 0 \\ S\theta_i & C\theta_i & 0 & 0 \\ 0 & 0 & 1 & 0 \\ 0 & 0 & 0 & 1 \end{bmatrix} \begin{bmatrix} 1 & 0 & 0 & 0 \\ 0 & 1 & 0 & 0 \\ 0 & 0 & 1 & d_i \\ 0 & 0 & 0 & 1 \end{bmatrix} \begin{bmatrix} 1 & 0 & 0 & a_i \\ 0 & 1 & 0 & 0 \\ 0 & 0 & 1 & 0 \\ 0 & 0 & 0 & 1 \end{bmatrix} \begin{bmatrix} 1 & 0 & 0 & 0 \\ 0 & C\alpha_i & -S\alpha_i & 0 \\ 0 & S\alpha_i & C\alpha_i & 0 \\ 0 & 0 & 0 & 1 \end{bmatrix}$$

$$= \begin{bmatrix} C\theta_i & -C\alpha_i S\theta_i & S\alpha_i S\theta_i & a_i C\theta_i \\ S\theta_i & C\alpha_i C\theta_i & -S\alpha_i C\theta_i & a_i S\theta_i \\ 0 & S\alpha_i & C\alpha_i & d_i \\ 0 & 0 & 0 & 1 \end{bmatrix}$$

**DH**变换矩阵与**MDH**坐标系不同，但若首尾坐标系相同，得到的运动学方程一致。



# 运动学模型总结

---

- 推导运动学模型的步骤：
  - 建立D-H坐标系结构
  - 找到D-H连杆参数
  - 计算相邻关节的变换矩阵
  - 计算运动学模型的变换矩阵
  - 如有必要，采用固定角表示或Euler角表示

---

Thanks!